

文章编号 :1001 - 2486(2006)03 - 0005 - 05

预处理方法在全速度流场数值模拟中的应用^{*}

潘 沙 李 桦 廖守亿 范晓樯

(国防科技大学 航天与材料工程学院 ,湖南 长沙 410073)

摘要 基于预处理方法 ,采用有限差分方法 ,LU-SGS 隐式求解了二维可压 Navier-Stokes 方程 ,数值模拟了无粘突包、粘性空腔、化学非平衡流场 ,并与试验结果进行了对比。计算结果表明 ,所采用的数值模拟方法能够求解低速及亚、跨、超全速度流场和化学非平衡流场 ,所采用的预处理方法在亚声速范围内保持数值精度的前提下 ,加速了收敛。

关键词 预处理方法 ;全速度 ;化学非平衡 ;数值模拟

中图分类号 :V434 文献标识码 :A

Preconditioned Methods for Two-dimensional Numerical Simulation at All Speeds

PAN Sha ,LI Hua ,LIAO Shou-yi ,FAN Xiao-qiang

(College of Aerospace and Material Engineering , National Univ. of Defense Technology , Changsha 410073 , China)

Abstract All speeds control equations were deduced from traditional compressible equations with precondition method and applied to 2D inviscid/viscous flows at all speeds. Jameson central difference scheme , LU-SGS implicit iterative method and round-off control were used to accelerate convergence rates and improve numerical precision. Computations were carried out in the bump flow in a channel , viscous cavity flow and chemical non-equilibrium flow . Numerical results were compared with standard cases . The methods and programs proved to be precise and credible . All these will serve as foundations for further study of integrated flow in combustor and nozzle .

Key words :precondition method ;all speeds ;chemical non-equilibrium ;numerical simulations

随着计算流体力学(CFD)的不断发展 ,解初边值问题的时间推进法—时间相关法已经形成了较为成熟的理论 ,被广泛地应用于亚、跨、超、高超声速计算中 ,但是在低马赫数流动时 ,因为“刚性”问题而效率降低甚至无法求解。其原因在于 ,当流动速度较低($M_a < 0.3$)时 ,流体被认为是不可压的 ,条件数 $K(A) = \frac{|\lambda|_{\max}}{|\lambda|_{\min}}$ 增大 ,由于稳定性的限制 ,显式时间步长反比于最大特征值 ,从而使方程收敛速度减慢。

近些年较多应用和发展的预处理方法(precondition)可以较好地解决低马赫数时的刚性问题。它通过对原方程时间导数项乘以一个预处理矩阵 ,改变了方程的特征值 ,使所有的特征值都具有相同的量级 ,从而解决低马赫数时的刚性问题^[1]。这种方法能够有效地利用传统的求解可压缩流的理论和方法 ,各个方程全部耦合求解 ,便于计算全速度流场 ,具有很好的发展前景。

在燃烧室、喷管一体化的计算中 ,流场是明显的化学非平衡状态 ,在燃烧室内是低速流动燃烧状态 ,高温高压的燃气在喷管中加速到超声速 ,因此有必要对其进行全速度流场的数值模拟。正是基于以上考虑 ,本文采用预处理方法求解化学非平衡、全速度流场。

1 控制方程

1.1 原化学非平衡 NS 方程

二维直角坐标系下守恒型化学非平衡方程为 :

^{*} 收稿日期 2005 - 12 - 30

基金项目 :航天支撑技术基金项目

作者简介 :潘沙(1976—),男 ,博士生。

$$\frac{\partial \mathbf{Q}}{\partial t} + \frac{\partial (\mathbf{E} - \mathbf{E}_v)}{\partial x} + \frac{\partial (\mathbf{F} - \mathbf{F}_v)}{\partial y} = \mathbf{S} \quad (1)$$

式中, \mathbf{Q} 为守恒变量, $\mathbf{E}, \mathbf{F}, \mathbf{E}_v, \mathbf{F}_v$ 分别为 x, y 方向的无粘/粘性通量, \mathbf{S} 为化学反应源项, 具体形式参见文献[2]。

1.2 化学非平衡全速度流场控制方程

可压缩 NS 方程在求解低速流场时会带来一系列的困难, 一是压强为 $\frac{1}{M_{\infty}^2}$ 的量级, 而对流项为 1 的量级, 从而带来较大的截断误差^[3]; 二是由于条件数太大而引起的刚性问题。为克服上述问题, 需对求解的变量形式进行变化, 并对控制方程进行处理。

(1) 考虑到在动量方程中是压强梯度而非压强在起耦合作用, 因此将压强写成 $p = p_0 + p_g$, 一般选取 p_0 为来流静压, 而 $\nabla(p_0 + p_g) = \nabla p_g$, 在动量方程中将 p 用 p_g 代替, 从而在马赫数趋于零时, 压强的量级保持一致, 消除了截断误差^[4]。

(2) 对原控制方程进行预处理, 使方程的特征值处于同一量级, 消除刚性问题。

一般曲线坐标系下二维化学非平衡全速度流场控制方程式为:

$$\boldsymbol{\Gamma} \frac{\partial \tilde{\mathbf{W}}}{\partial \tau} + \frac{\partial (\tilde{\mathbf{E}} - \tilde{\mathbf{E}}_v)}{\partial \xi} + \frac{\partial (\tilde{\mathbf{F}} - \tilde{\mathbf{F}}_v)}{\partial \eta} = \tilde{\mathbf{S}} \quad (2)$$

$$\mathbf{Q} = \begin{bmatrix} \rho \\ \rho u \\ \rho v \\ \rho E \\ \rho Y_1 \\ \vdots \\ \rho Y_{ns-1} \end{bmatrix}, \quad \tilde{\mathbf{W}} = \frac{1}{J} \begin{bmatrix} p_g \\ u \\ v \\ h \\ Y_1 \\ \vdots \\ Y_{ns-1} \end{bmatrix}, \quad \boldsymbol{\Gamma} = \begin{bmatrix} 1/\beta & 0 & 0 & 0 & 0 & 0 & \cdots & 0 \\ u/\beta & \rho & 0 & 0 & 0 & 0 & \cdots & 0 \\ v/\beta & 0 & \rho & 0 & 0 & 0 & \cdots & 0 \\ \frac{H}{\beta} - 1 & \rho u & \rho v & \rho & 0 & 0 & \cdots & 0 \\ Y_1/\beta & 0 & 0 & 0 & \rho & 0 & \cdots & 0 \\ Y_2/\beta & 0 & 0 & 0 & 0 & \rho & \cdots & 0 \\ \vdots & \vdots & \vdots & \vdots & \vdots & \vdots & \ddots & 0 \\ Y_{ns-1}/\beta & 0 & 0 & 0 & 0 & 0 & \cdots & \rho \end{bmatrix}, \quad \tilde{\mathbf{S}} = \frac{1}{J} \begin{bmatrix} 0 \\ 0 \\ 0 \\ 0 \\ \omega_1 \\ \vdots \\ \omega_{ns-1} \end{bmatrix}$$

式中, $p_g = p - p_0$, 一般取 p_0 为来流压强, $u, v, h, Y_1, \dots, Y_{ns-1}$ 分别为 x, y 向速度、焓、各组分质量比数, ω_i 为 i 组分的质量生成率, J 为坐标变换雅可比矩阵, $\tilde{\mathbf{E}}, \tilde{\mathbf{E}}_v, \tilde{\mathbf{F}}, \tilde{\mathbf{F}}_v, \tilde{\mathbf{S}}$ 具体形式见文献[3], $\boldsymbol{\Gamma}$ 为预处理矩阵, 取 $\beta = u^2 + v^2$ 。

2 差分格式及数值方法

2.1 差分格式

由于低马赫数时流场实际上是不可压流场, 此时某一点的影响区域为全场, 而中心差分格式可较好地反映这一特点, 因此本文采用 Jameson 等人的 JST 中心差分格式。为保证精度和数值计算的稳定性, 添加了人工粘性, 并在运用于预处理方程时作了修正^[5]。以 ξ 方向为例, 无粘数值得通量为:

$$\tilde{E}_{i+1/2,j} = (\tilde{E}_{i,j} + \tilde{E}_{i+1,j})/2 - D_{i+1/2,j}$$

其中, $D_{i+1/2,j} = \Gamma_{i+1/2,j} \lambda_{i+1/2,j} [\epsilon_{i+1/2,j}^{(2)}(\tilde{W}_{i+1,j} - \tilde{W}_{i,j}) - \epsilon_{i+1/2,j}^{(4)}(\tilde{W}_{i+2,j} - 3\tilde{W}_{i+1,j} + 3\tilde{W}_{i,j} - \tilde{W}_{i-1,j})]$

2.2 数值方法

为了将 LU-SGS 数值方法应用于预处理方程的求解, 需对雅可比矩阵的分裂进行适当改变, 以使预处理矩阵参与分裂^[5], 以 A 矩阵为例:

$$A = \boldsymbol{\Gamma} \boldsymbol{\Gamma}^{-1} A = \boldsymbol{\Gamma} \tilde{A} \quad , \quad \tilde{A} = \boldsymbol{\Gamma}^{-1} A$$

$$\tilde{A} = \tilde{A}^+ + \tilde{A}^-, \quad \tilde{A}^\pm = \frac{1}{2} [\tilde{A} \pm \rho(\tilde{A})I], \quad (\rho(\tilde{A})) = \omega \cdot \max(\lambda_A), \quad \omega \text{ 为松弛因子, } \omega \geq 1$$

$$\tilde{A}^\pm = \boldsymbol{\Gamma} \tilde{A}^\pm = \boldsymbol{\Gamma} \frac{1}{2} [\tilde{A} \pm \rho(\tilde{A})I] = \frac{1}{2} [A \pm \rho(\tilde{A})\boldsymbol{\Gamma}]$$

A, B 的分裂完成后, 离散方程可写为:

$$\begin{aligned} & \left\{ \frac{\mathbf{I}}{\Delta t} + [\rho(\tilde{\mathbf{A}}) + \rho(\tilde{\mathbf{B}})]\mathbf{I} - \mathbf{T} \right\} \delta \mathbf{W}_{i,j} + \mathbf{\Gamma}^{-1} \{ \mathbf{A}_{i+1,j}^- \delta \mathbf{W}_{i+1,j} - \mathbf{A}_{i-1,j}^+ \delta \mathbf{W}_{i-1,j} + \mathbf{B}_{i,j+1}^- \delta \mathbf{W}_{i,j+1} - \mathbf{B}_{i,j-1}^+ \delta \mathbf{W}_{i,j-1} \} \\ &= -\mathbf{\Gamma}^{-1} \mathbf{R}^n \\ & \quad \begin{cases} \mathbf{L} = -\mathbf{\Gamma}^{-1} (\mathbf{A}_{i-1,j}^+ + \mathbf{B}_{i,j-1}^+) \\ \mathbf{D} = \frac{\mathbf{I}}{\Delta t} + [\rho(\tilde{\mathbf{A}}) + \rho(\tilde{\mathbf{B}})]\mathbf{I} - \mathbf{T} \\ \mathbf{U} = \mathbf{\Gamma}^{-1} (\mathbf{A}_{i+1,j}^- + \mathbf{B}_{i,j+1}^-) \end{cases} \end{aligned}$$

求解时分三步进行：

$$(1) (\mathbf{L} + \mathbf{D}) \delta \mathbf{W}^* = -\mathbf{R}^n$$

$$(2) (\mathbf{D} + \mathbf{U}) \delta \bar{\mathbf{W}} = \mathbf{D} \delta \mathbf{W}^*$$

$$(3) \mathbf{W}^{n+1} = \mathbf{W}^n + \delta \bar{\mathbf{W}}$$

3 计算结果及分析

3.1 条件数的比较

预处理矩阵构造和选取的原则复杂,有专门的文献^[6]论述,本文不作详细讨论。仅针对本文引用的预处理矩阵和预处理后的方程进行分析。作为衡量矩阵刚性程度的条件数 K

(A),定义为最大特征值与最小特征值之比, $K(A) = \frac{\|\lambda\|_{\max}}{\|\lambda\|_{\min}}$ 。

以 ξ 方向为例,对于原 NS 方程特征值为 $\lambda = U, \dots, U+a, U$

$-a$,对于采用本文预处理矩阵的全速度方程 $\lambda = U, \dots, \frac{1}{2}[U$

$(1 + \frac{\beta}{a^2}) \pm \sqrt{U^2(1 - \frac{\beta}{a^2})^2 + 4\beta(\alpha_1^2 + \alpha_2^2)}$],其中 $U = \alpha_1 u + \alpha_2 v$,

$\alpha_1 = \xi_x, \alpha_2 = \xi_y$ 。为了比较方便,设 $\xi_x = 1, \xi_y = 0$,则又变为直角坐标系。

随着马赫数的变化,条件数中的最大、最小特征值也不同,由此可定性地得出图 1。可以看出,原方程在马赫数趋近于 0 和 1 时,条件数迅速趋向于无穷大,从而出现刚性问题。通过预处理后,虽然在跨声速附近的状况没有改变,但随着马赫数的降低,条件数趋近于 1,从而保证特征值处于同一量级,加速了收敛,克服了刚性问题,这一点通过后面的无粘突包数值试验得到验证。

3.2 无粘突包算例

下壁有突包的无粘管道流动,几何外形简单,便于数值解的分析。本文采用文献[7]中的算例,管长为 3,从 -1 到 +2,高为 1,突包尺寸为 $y = 0.1 \sin^2 \pi x (0 < x < 1)$ 。为了检验预处理后加速收敛的效果,对低亚声速及亚声速(图 2(a)),跨声速(图 2(b)),超声速(图 2(c))收敛史进行了比较。在低亚声速和亚声速流动中, $M_a < 0.2$ 时流体已呈现为不可压,用原方程求解,出现明显的数值振荡,根本不能保证求解精度;预处理后,收敛速度明显优于原方程,收敛精度也明显增加,而且随着马赫数的不断降低,预处理后方程的条件数趋近于 1,收敛速度和精度也变得对马赫数不再“敏感”,基本上保持不变,表现为 $M_a < 0.2$ 的收敛史曲线基本上一致,这也与图 1 中马赫数小于 0.5 的趋势相符合。在跨声速的计算中,此时预处理后的条件数与原方程相比基本一致,从而在收敛速度与精度上也与原方程差别不大。在超声速的计算中,预处理后方程的条件数大于未作预处理的,收敛不再占有优势,所用的迭代步数也多于未作预处理的,收敛精度也相应降低。这表明,用预处理的方法能够求解超声速和高超声速,但失去了加速收敛的优势。通过本算例也证明了预处理方法能够求解低亚声速及亚、跨、超声速流场,在低马赫数下确实起到了加速收敛的作用。

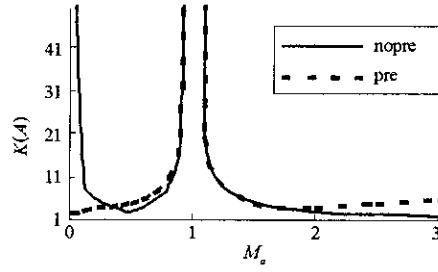


图 1 条件数刚性对比

Fig. 1 Comparison between condition numbers

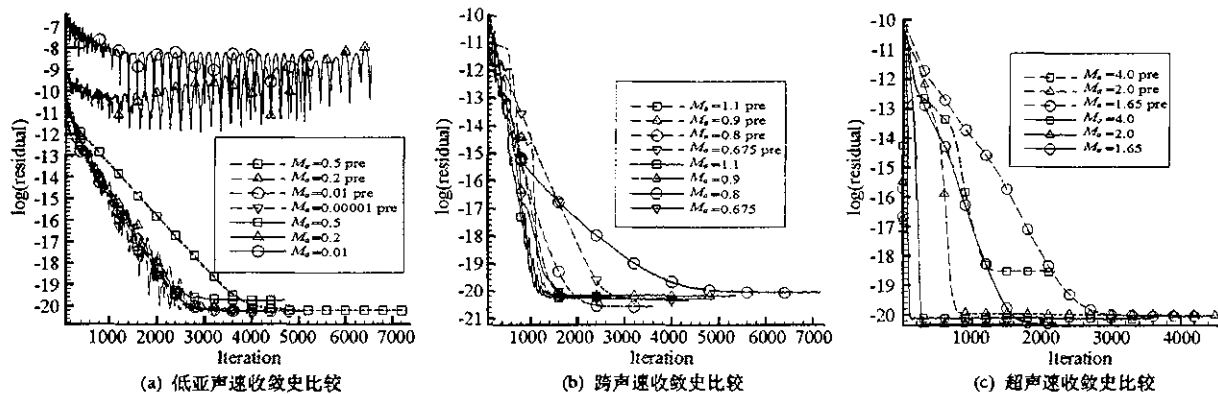


图2 不同马赫数下预处理前后收敛史比较

Fig.2 Convergence rates of with and without preconditioning at different Machs

3.3 粘性驱动空腔算例

长期以来,粘性空腔流动都作为检验不可压算法的标准算例。本文采用了文献[5]中的算例,并与试验结果进行了对比。空腔长、宽均为1,顶盖速度为1,其余三个壁面固定不动,对比所用的马赫数为0.001,数值计算了不同来流及不同雷诺数条件下的流场。图3、图4与Ghia et al的雷诺数分别为100和400的结果进行了对比,中心线上的速度符合较好。图5列出了雷诺数分别为100、400、1000、5000时的流线图。可以看出,在空腔中央产生了一个原始涡,随着雷诺数的增大,涡中心向空腔几何中心移动,在底部两个角落各产生一个二次涡;随着雷诺数的继续增大,左上角也产生一个二次涡;雷诺数再增大($Re > 5000$),在二次涡附近又产生更小的涡,此时流场已呈现非定常状态。计算中还发现随着雷诺数的增大,收敛速度降低。这与文献[1]相一致,分析认为是雷诺数增大、物理粘性减小的原因。

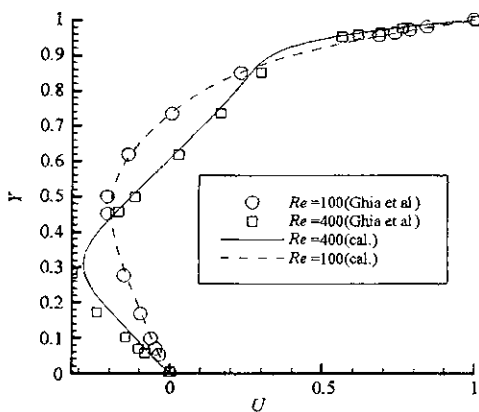
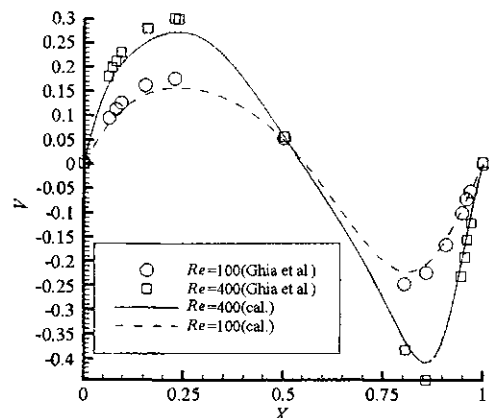
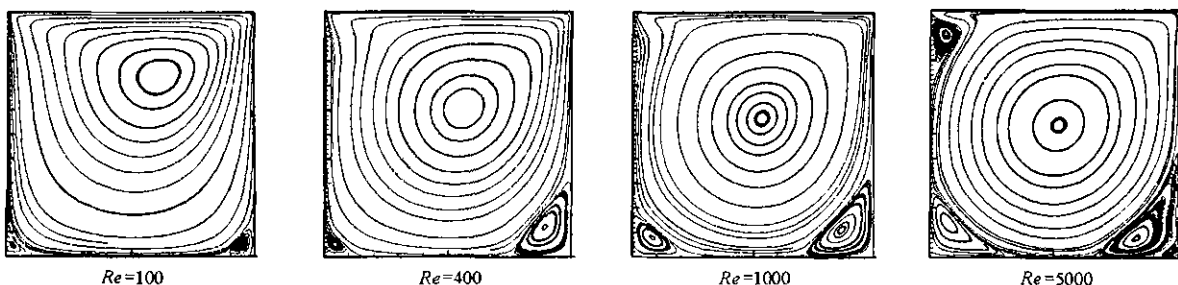
图3 垂直中心线上的 U 分布Fig.3 The U velocity component at vertical centerline图4 水平中心线上的 V 分布Fig.4 The V velocity component at horizontal centerline

图5 不同雷诺数下的流线图

Fig.5 Streamline contours at different Re

3.4 化学反应剪切层

为了下一步工程实际的需要 ,同时进一步检验预处理方法 ,将预处理与化学非平衡相结合 ,计算了文献[8]带有化学反应的自由剪切层。化学非平衡方程中的细节描述受篇幅所限在此从略。有限速率方程采用的是文献[9]中的氢气与空气反应的七组分八反应方程。计算条件见表 1。上层燃料和下层氧化剂平行剪切流动 ,在中间点火塞的作用下发生化学反应 ,并随流动向下游发展 ,产生了 O、OH、H、H₂O 等组分。图 6 列出了在 X 方向

2.5mm、7.5mm、10mm、15mm、30mm 剖面的速度 ,图 7 给出了 OH 和 H₂O 组分的等值线。上游反应区域较小 ,速度梯度大 ,变化剧烈。随着向下游流动方向的延伸 ,反应区域变大 ,速度梯度减小。与试验结果对比 ,可以看出在上游与试验符合较好 ,下游出现一定的偏差 ,这种问题与文献[8]一致 ,分析认为是与物理现象本身的不稳定有关 ,而与预处理方法无关。通过本算例也表明预处理可用于化学非平衡的计算。

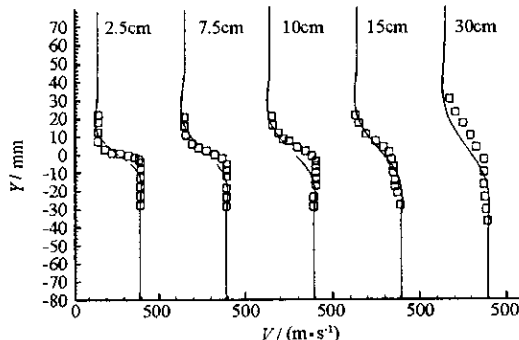


图 6 剖面速度面

Fig. 6 Velocity profiles

表 1 化学反应剪切层计算条件

Tab. 1 Simulation conditions for reacting shear

	氧化剂	点火塞	燃料
$Y_{\text{向}}(\text{mm})$	-80 ~ 0	0 ~ 1	1 ~ 80
$T(\text{K})$	811	1250	367
$U(\text{m/s})$	390	140	140
$P(\text{N/m}^2)$	100 000	100 000	100 000
Y_{O_2}	0.21	0.21	0.0
Y_{H_2}	0.0	0.013	0.0394
Y_{N_2}	0.79	0.777	0.9606

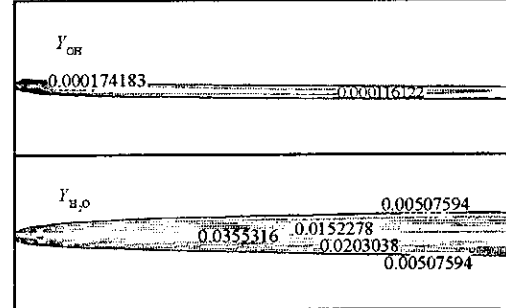


图 7 组分等值线图

Fig. 7 Contours of species mass fractions

4 结 论

(1) 基于预处理方法 ,发展了求解全速度、化学非平衡流场的数值模拟方法。

(2) 通过条件数比较 ,理论分析了方程预处理后的刚性问题 ,并通过算例验证 ,证明本文所采用的预处理矩阵在低速和亚声速范围内 ,可以很好地加速收敛 ,提高精度 ,在跨声速和超声速则优势减小。

(3) 预处理仍可应用于化学非平衡的计算 ,可延伸至下一步燃烧室、喷管等工程实际计算中。

参 考 文 献 :

- [1] 廖守亿 . 预处理方法研究与应用及大气扩散的数值模拟[D]. 长沙 : 国防科技大学学位论文 ,2000.
- [2] 欧阳水吾 , 谢中强 , 等 . 高温非平衡空气绕流 [M]. 北京 : 国防工业出版社 ,2001.
- [3] Shuen J S , Chen K H , Choi Y H. A Couple Implicit Method for Chemical Non-equilibrium Flow at All Speed [J]. J. Comput. Phys. ,1993 ,106 : 306 – 318.
- [4] Choi Y H , Merkle C L. The Application of Precondition in Viscous Flow [J]. Journal of Computational Physics ,1993 ,105 ,1993.
- [5] Lyle D D , Richard H. Pletcher Evaluation of Multigrid Acceleration for Preconditioned Time-accurate Navier-Stokes Algorithms [R]. AIAA95 – 1668 – CP ,1995.
- [6] Turkel E. Preconditioning Techniques in Computational Fluid Dynamics [J]. Annual Review of Fluid Mechanics ,1999 ,31 : 385 – 416.
- [7] Karimian L , Schneider M. Pressure-based Control-volume Finite Element Method for Flow at All Speeds [J]. AIAA Journal ,1995 ,33(9).
- [8] Edwards J R , Christopher J. Roy Preconditioned Multigrid Methods for Two-dimensional Combustion Calculations at All speed [J]. AIAA Journal ,1998 ,36(2).
- [9] Evans J S , Schexnayder Jr C J. Influence of Chemical Kinetics and Unmixedness on Burning in Supersonic Hydrogen Flames [J]. AIAA Journal ,1980 ,18(2) :188 – 193.

